

A quantitative gamma-ray spectrometric and aeromagnetic airborne geophysical survey was completed by Fugro Airborne Surveys east of Schefferville, over areas located in Newfoundland and Labrador and Québec. The survey was flown from May 24th to August 20th, 2009 using two Cessna 208B Caravan aircraft (C-GNCA and C-GFVA) and one Cessna 441 Titan aircraft (C-FYAU). The nominal traverse and control line spacing were, respectively, 200 m and 1200 m, and the aircraft flew at a nominal terrain clearance of 80 m at an air speed between 200 and 270 km/h. Traverse lines were oriented 180° with orthogonal control lines. The flight path was recovered following post-flight differential corrections to raw data recorded by a Global Positioning System.

Gamma-ray Spectrometric Data
The airborne gamma-ray measurements were made with an Explorerium GR820 gamma-ray spectrometer using ten (C-GFVA and C-FYAU) or fourteen (C-GNCA) 102 x 102 x 406 mm NaI (TI) crystals. The main detector array consisted of eight (C-GFVA and C-FYAU) or twelve (C-GNCA) crystals (total volume 3.6 litres and 50.4 litres, respectively). Two crystals on an aircraft (total volume 8.4 litres), shielded by the main array, were used to detect variations in background radiation caused by atmospheric radon. The system constantly monitored the natural thorium peak for each crystal, and using a Gaussian least squares algorithm, adjusted the gain for each crystal.

Potassium is measured directly from the 1460 keV gamma-ray photons emitted by ⁴⁰K, whereas uranium and thorium are measured indirectly from gamma-ray photons emitted by daughter products (²¹⁴Pb for uranium and ²¹⁴Pb for thorium). Although these daughters are far from their respective decay chains, they are assumed to be in equilibrium with their parents; thus aeromagnetic measurements of uranium and thorium are referred to as equivalent uranium and equivalent thorium, i.e. eU and eTh. The energy windows used to measure potassium, uranium and thorium are, respectively, 1370 - 1570 keV, 1660 - 1860 keV, and 2410 - 2810 keV.
Gamma-ray spectra were recorded at one-second intervals. During processing the spectra were energy calibrated, and the counts were accumulated into the windows described above. Counts from the radon detectors were recorded in a 1600 - 1860 keV window and ratios at energies greater than 2000 keV were recorded in the cosmic window. The window counts were corrected for dead time, background activity from cosmic radiation, radioactivity of the aircraft and atmospheric radon decay products. The window data were then corrected for spectral scattering in the ground, air and detector. Corrections for deviations from the planned terrain clearance and for variation of temperature and pressure were made prior to conversion to ground concentrations of potassium, uranium and thorium, using factors determined from flights over the Breckenridge, Québec calibration range. The factors for potassium, uranium, and thorium were, respectively, 137.63 cps/ppm, 16.60 cps/ppm, and 7.57 cps/ppm for C-GNCA; 79.86 cps/ppm, 7.32 cps/ppm, and 4.18 cps/ppm for C-FYAU; and 91.10 cps/ppm, 10.18 cps/ppm, and 4.92 cps/ppm for C-GFVA.

Corrected data were filtered and interpolated to a 50 m grid interval. The results of an airborne gamma-ray spectrometer survey represent the average surface concentrations that are influenced by varying amounts of outcrop, overburden, vegetation cover, soil moisture and surface water. As a result the measured concentrations are usually lower than the actual bedrock concentrations. The total air absorbed dose rate in nanograys per hour was produced from measured counts between 400 and 2810 keV.

Magnetic Data
The magnetic field was sampled 10 times per second using a split-beam cesium vapour magnetometer (sensitivity = 0.005 nT) rigidly mounted to the aircraft. Differences in magnetic values at the interstices of control and traverse lines were computer-analysed to obtain a mutually leveled set of flight-line magnetic data. The leveled values were then interpolated to a 50 m grid. The International Geomagnetic Reference Field (IGRF) defined at the average GPS altitude of 617 m above sea level for the year 2009.5 was then removed. Removal of the IGRF, representing the magnetic field of the Earth's core, produces a residual component related essentially to magnetizations within the Earth's crust.
The first vertical derivative of the magnetic field is the rate of change of the magnetic field in the vertical direction. Computation of the first vertical derivative removes long-wavelength features of the magnetic field and significantly improves the resolution of closely spaced and superposed anomalies. A property of first vertical derivative maps is the coincidence of the zero-value contour with vertical contacts at high magnetic latitudes (Hood, 1965).

References
Hood, P.J., 1965. Gradient measurements in aeromagnetic surveying. *Geophysics*, v. 30, p. 891-902.

Un levé géophysique aérien combinant l'acquisition de données quantitatives de spectrométrie gamma et de données magnétiques a été réalisé, par la société Fugro Airborne Surveys, à l'est de Schefferville, dans des régions de Terre-Neuve et Labrador ainsi qu'au Québec. Le levé a été effectué du 24 mai au 20 août 2009, à bord de deux avions Cessna 208B Caravan immatriculés C-GNCA et C-GFVA ainsi qu'un Cessna 441 Titan immatriculé C-FYAU. L'espacement nominal des lignes de vol était de 200 m et celui des lignes de contrôle de 1 200 m, alors que l'altitude nominale de vol était de 80 m au-dessus du sol et que la vitesse était de 200 à 270 km/h. Les lignes de vol étaient orientées à 180° et les lignes de contrôle sur étaient perpendiculaires. La trajectoire de vol a été restituée par l'application après le vol de corrections différentielles aux données brutes enregistrées avec un récepteur GPS.

Données de spectrométrie gamma
Les mesures du rayonnement gamma ont été effectuées à l'aide d'un spectromètre gamma Explorerium GR820 utilisant dix (C-GFVA et C-FYAU) ou quatorze (C-GNCA) cristaux de NaI (TI) de 102 x 102 x 406 mm. Le principal réseau de capteurs se composait de huit (C-GFVA et C-FYAU) ou douze (C-GNCA) cristaux (volume total de 3,6 et 50,4 litres, respectivement). Deux cristaux (volume total de 8,4 litres), protégés par le réseau principal, ont été utilisés pour détecter les variations du rayonnement naturel causées par le radon atmosphérique. Le dispositif permettait de faire un suivi constant des pics du thorium pour chacun des cristaux et, au moyen d'un algorithme d'ajustement gaussien par la méthode des moindres carrés, de compenser le gain pour chacun des cristaux.

Le potassium est mesuré directement à partir des photons gamma de 1 460 keV émis par le ⁴⁰K, tandis que l'uranium et le thorium sont mesurés indirectement à partir des photons gamma émis par des produits de fission (²¹⁴Pb pour l'uranium et ²¹⁴Pb pour le thorium). Bien que ces radionucléides de fission se trouvent loin dans leur chaîne respective de désintégration, on presume qu'ils sont en équilibre avec leur radionucléide père; ainsi, les mesures spectrométriques du rayonnement gamma de l'uranium et du thorium sont désignées comme des équivalents d'uranium et des équivalents de thorium, soit eU et eTh. Les plages d'énergie utilisées pour mesurer le potassium, l'uranium et le thorium sont respectivement : de 1 370 à 1 570 keV, de 1 660 à 1 860 keV et de 2 410 à 2 810 keV.

Les spectres du rayonnement gamma ont été enregistrés pendant des intervalles d'une seconde. Pendant le traitement, les spectres ont été soumis à un étalonnage énergétique et les coups ont été cumulés dans les plages décrites ci-dessus. Les coups obtenus à l'aide des capteurs de radon ont été enregistrés dans la plage de 1 600 à 1 860 keV et le rayonnement de fond cosmique a été enregistré à des énergies supérieures à 2 000 keV à l'aide de la plage du rayonnement cosmique. Les coups enregistrés dans les plages ont été corrigés pour tenir compte du temps mort, du rayonnement de fond dû au rayonnement cosmique, de la radioactivité de l'aéronef et des produits de désintégration du radon atmosphérique. Les données pour les plages ont ensuite été corrigées pour tenir compte de la diffusion spectrale dans le sol, l'air et les capteurs. Les corrections pour les écarts à la hauteur de vol prévue et les variations de température et de pression ont été effectuées avant la conversion en concentrations équivalentes au sol du potassium, de l'uranium et du thorium, en utilisant des facteurs déterminés par une comparaison avec des résultats obtenus au-dessus d'une bande d'étalonnage à Breckenridge, Québec. Les facteurs déterminés pour le potassium, l'uranium et le thorium étaient respectivement de 137,63 cps/ppm, 16,60 cps/ppm, et 7,57 cps/ppm pour C-GNCA; 79,86 cps/ppm, 7,32 cps/ppm, et 4,18 cps/ppm pour C-FYAU; et 91,10 cps/ppm, 10,18 cps/ppm, et 4,92 cps/ppm pour C-GFVA.

Un filtre a été appliqué aux données corrigées, qui ont ensuite été interpolées suivant une grille à maille de 50 m. Les résultats d'un levé aérien de spectrométrie gamma représentent les concentrations moyennes échantillonnées à la surface, lesquelles sont influencées par la proportion relative de fentes, des affleurements, du mort-terrain, de couverture végétale et d'eau de surface. Par conséquent, les concentrations mesurées sont habituellement plus faibles que les concentrations réelles des substratum rocheux. Le débit total de la dose absorbée par l'air, en nanograys à l'heure, a été déterminé à partir des coups mesurés dans la plage de 400 à 2 810 keV.

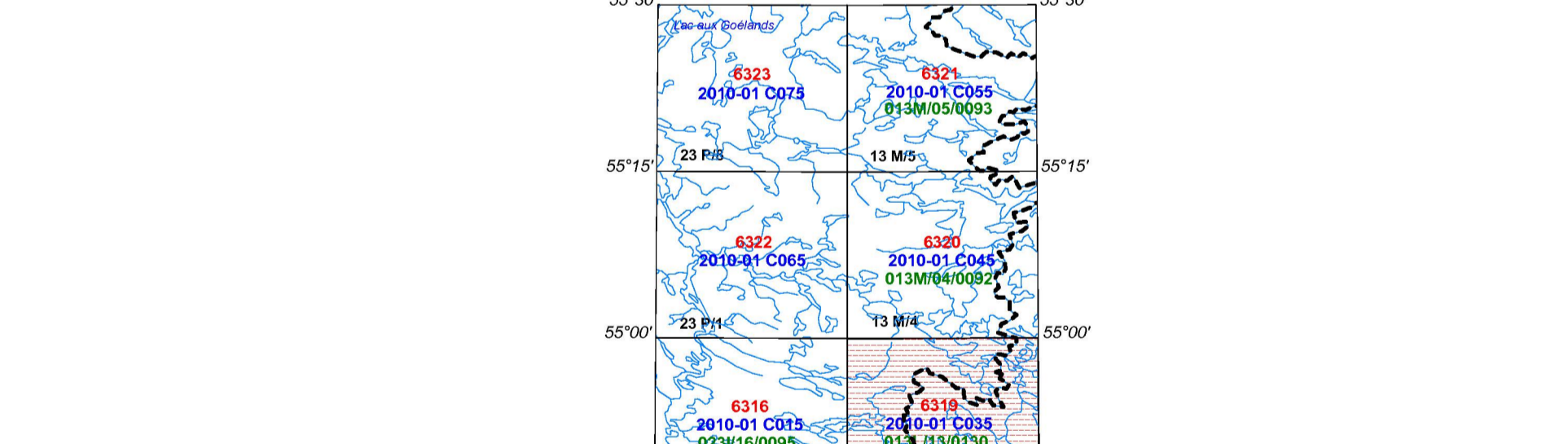
Données sur le champ magnétique
Le champ magnétique a été échantillonné 10 fois par seconde à l'aide d'un magnétomètre à vapeur de césium à faisceau partagé (sensibilité = 0,005 nT) rigidement fixé à l'aéronef. Les différences de valeur du champ magnétique aux interstices des lignes de contrôle et des lignes de vol ont été analysées par ordinateur afin d'obtenir un jeu de données sur le champ magnétique mutuellement nivelées à l'échelle de vol. Ces valeurs nivelées ont ensuite été interpolées suivant une grille à maille de 50 m. Le champ géomagnétique international de référence (International Geomagnetic Reference Field, IGRF) défini à l'altitude moyenne de 617 m au-dessus de la mer fut retiré des données GPS pour l'année 2009,5 à l'aide d'un logiciel. La soustraction de l'IGRF, qui représente le champ magnétique du noyau terrestre, fournit une composante résiduelle essentiellement reliée à la magnétisation de l'écorce terrestre.
La dérivée première verticale du champ magnétique représente le taux auquel varie le champ magnétique suivant la verticale. Le calcul de la dérivée première verticale supprime les composantes de grande longueur d'onde du champ magnétique et améliore considérablement la résolution des anomalies magnétiques des unes des autres ou superposées. L'une des propriétés des cartes de la dérivée première verticale est la coïncidence de l'isogramme de valeur zéro et des contacts verticaux aux hautes latitudes magnétiques (Hood, 1965).

References
Hood, P.J., 1965. Gradient measurements in aeromagnetic surveying. *Geophysics*, v. 30, p. 891-902.

PLANIMETRIC SYMBOLS / SYMBOLES PLANIMÉTRIQUES

Roads	Routes
Railway	Chemin de fer
Power Line	Ligne de transport d'énergie
Drainage	Drainage

GSC Open File Numbers in Red / Numéros de dossiers publics de la CGC en rouge
Newfoundland and Labrador Open File Numbers in Green / Numéros de dossiers publics de Terre-Neuve et Labrador en vert
Québec Open File Numbers in Blue / Numéros de dossiers publics du Québec en bleu



This airborne geophysical survey and the production of this map were funded by the Geomapping for Energy and Minerals (GEM) Program of the Earth Sciences Sector, Natural Resources Canada.
Ce levé aéroporté et la production de cette carte ont été financés par le programme de Géomatographie de l'énergie et des minéraux (GEM) du Secteur des sciences de la Terre, Ressources naturelles Canada.

GSC OPEN FILE 6319 / DOSSIER PUBLIC 6319 DE LA CGC
NEWFOUNDLAND AND LABRADOR DEPARTMENT OF NATURAL RESOURCES, GEOLOGICAL SURVEY OPEN FILE 013L/13/0130
MINISTÈRE DES RESSOURCES NATURELLES ET DE LA FAUNE DU QUÉBEC DP 2010-01

GEOPHYSICAL SERIES / SÉRIE DES CARTES GÉOPHYSIQUES
NTS 13 L/13 / SNRC 13 L/13

LAKE RAMUSIO GEOPHYSICAL SURVEY SCHEFFERVILLE REGION
LEVÉ GÉOPHYSIQUE DU LAC RAMUSIO RÉGION DE SCHEFFERVILLE

URANIUM

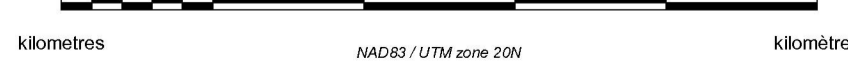
Authors: R. Dumont, R. Fortin, S. Hefford and F. Dostaler

Auteurs : R. Dumont, R. Fortin, S. Hefford et F. Dostaler

Data acquisition, compilation and map production by Fugro Airborne Surveys, Ottawa, Ontario. Contact and project management by the Geological Survey of Canada, Ottawa, Ontario.

L'acquisition, la compilation des données ainsi que la production des cartes furent effectuées par Fugro Airborne Surveys, Ottawa, Ontario. La gestion et la supervision du projet furent effectuées par la Commission géologique du Canada, Ottawa, Ontario.

Scale 1:50 000 - Échelle 1/50 000



Université de la Terre et de l'Atmosphère
© Her Majesty the Queen in Right of Canada 2010

Projet de loi 100
© Her Majesty the Queen in Right of Canada 2010

Digital Topographic Data provided by Geomatics Canada, Natural Resources Canada
Données topographiques numériques de Géomatics Canada, Ressources naturelles Canada

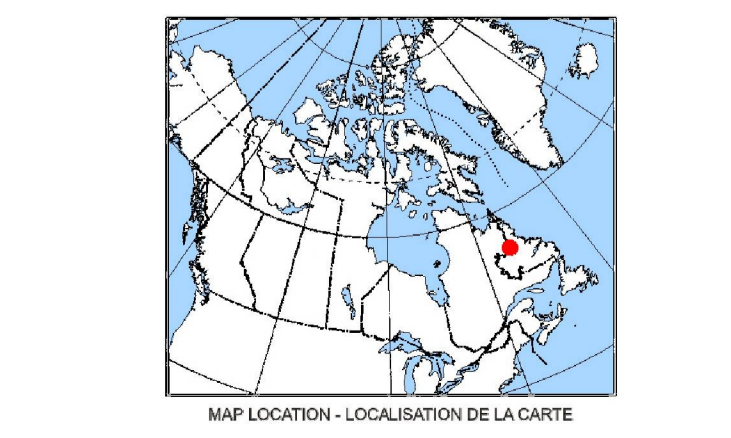
MAP SHEET SUMMARY / SOMMAIRE DES FEUILLETS

1. Natural Air Absorbed Dose Rate	Taux d'absorption naturel des rayons gamma dans l'air
2. Potassium	
3. Uranium	
4. Thorium	
5. Uranium / Thorium	
6. Uranium / Potassium	
7. Thorium / Potassium	
8. Terrain Representation Map	Diagramme terrain des établissements
9. Residual Total Magnetic Field	Composante résiduelle du champ magnétique total
10. First Vertical Derivative of the Magnetic Field	Dérivée première verticale du champ magnétique

OPEN FILE DOSSIER PUBLIC 6319

2010
SHEET 3 OF 10
FEUILLET 3 DE 10

Newfoundland and Labrador Department of Natural Resources, Geological Survey
Open File 013L/13/0130 Sheet 3 of 10
Ministère des Ressources naturelles et de la Faune du Québec
DP 2010-01 0055



Notation bibliographique conventionnelle
Dumont, R., Fortin, R., Hefford, S., Dostaler, F., 2010.
Série des cartes géophysiques, SNRC 13 L/13.
Levée géophysique du Lac Ramusio de Schefferville.
Commission géologique du Canada, Dossier public 6319.
Ministère des Ressources naturelles et de la Faune du Québec, DP 2010-01.
Newfoundland and Labrador Department of Natural Resources, Geological Survey, Open File 013L/13/0130, feuille 130130.

Recommended citation
Dumont, R., Fortin, R., Hefford, S., Dostaler, F., 2010.
Geophysical Series, NTS 13 L/13.
Lake Ramusio Geophysical Survey, Schefferville Region.
Geological Survey of Canada, Dossier public 6319.
Newfoundland and Labrador Department of Natural Resources, Geological Survey, Open File 013L/13/0130, scale 1:50 000.